## インバート部の変状発生に関する基礎的実験

(独) 鉄道建設・運輸施設整備支援機構 (公財) 鉄道総合技術研究所 正会員 ○渡辺和之,水谷哲也,井浦智実 正会員 野城一栄,伊藤直樹

### 1. はじめに

山岳トンネルにおいて、施工完了後しばらくして本インバートにひび割れや盤ぶくれ等の変状が発生することがある。これらの発生モデルとして、インバート下への給水、地山強度の低下、地山破壊による隆起圧の作用が考えられている。今回、上述モデルの検証のための基礎的実験として、トンネル現場の岩石試料を用いた模型実験によりインバートの変状発生を再現した。

## 2. 実験方法

実験には図-1 に示す載荷模型実験装置 Dを使用した. 図-2 に土槽とトンネル模型の寸法を示す. トンネル模型は新幹線トンネルの 1/50 スケールのモルタル製で,模擬地山には低強度モルタルを 8 用いた. 実験手順は以下のとおりである.

- ① 土槽中央にトンネル模型を設置し(図-2),模擬地山として低強度モルタルをトンネル模型の周囲に打設した.
- ② 乾燥炉にて絶乾状態とした泥岩をインバート下に敷設した.
- ③ 実験は低強度モルタル打設 7日後に実施した. 土槽の左側面に対し、載荷板変位を変位制御(0.2 mm/分)により右方に載荷し、所定の荷重(約500 kPa)を与えた.
- ④ 荷重を保持したまま,24 時間後,48 時間後,72 時間後の3 回泥岩部に注水を行い,インバート底面の鉛直変位,インバート底面への作用土圧を計測し,肉眼でもトンネルの変形破壊挙動を確認した.

## 3. 岩石試料

4. 実験結果

岩石試料は表-1に示す古第三紀,新第三紀の泥岩 3 ケースを使用した. これらはトンネル掘削時点での水平内空変位が 100 mm以上と大きな変位を生じたトンネル(ケース 1 と 3)およびインバートに変状が発生したトンネル(ケース 2)にて採取したものである. この泥岩は浸水により顕著なスレーキング現象が確認できた. その状況を写真-1に示す.

# 

図-1 実験装置模式図

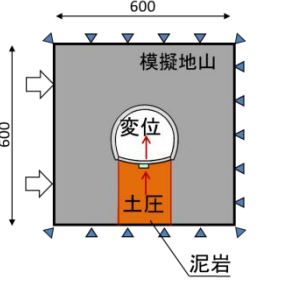




図-2 土槽・トンネル模型の寸法

表-1 試験ケース

	ケース1	ケース2	ケース3
	Aトンネル①	Bトンネル	Aトンネル②
泥岩時代区分	古第三紀泥岩	新第三紀泥岩	古第三紀泥岩
泥岩採取箇所	下半	インパート	下半
採取位置土被り	約70m	約40m	約100m
水平内空変位 (掘削完了時点)	約100mm	約300mm	約200mm

ケース2

ケース3









写真-1 泥岩の浸水試験状況

図-3 にインバート底面への作用土圧の経時変化、図-4 にインバート底面の鉛直変位の経時変化を示した.作用土圧は、1 回目の注水(24 時間後)直後に急増した後に急減し、その後は徐々に増加傾向を示す(図-3). 底面鉛直変位は1回目の注水時に急激に増加するが、作用土圧のような急減はみられない. 一方、作用土圧と鉛直変位ともに、2 回目(48 時間後)、3 回目の注水時(72 時間後)での変化は顕著でない.

キーワード 山岳トンネル, インバート

連絡先 〒231-8315 横浜市中区本町 6-50-1 TEL:045-222-9083

実験中、インバートのひび割れを目視で観察し、注水に伴いインバ ートに曲げひび割れが発生することを確認した. 前述の土圧の急減は  $_{
m H}$ インバートのひび割れに伴い荷重が一旦解放されたためと考えられる。

図-5 に実験前後の岩片の粒径加積曲線を示す. 実験後は岩片が全体 的に細粒化しているが、浸水試料(写真-1)のような土砂〜細片化に までは達していない.

### 5. 考察

注水1回目(24時間後)から2回目(48時間後)までの載荷板変 位、インバート底面鉛直変位、土槽側面作用圧、インバート底面作用 土圧の増分を図-6にまとめた。すべてのケースで、注水により変位と 土圧は増加している. 作用土圧の大小はあるが、全てのケースで同様 の傾向がみられ、同じトンネルの試料を用いたケース1とケース3で は、土圧の経時変化は比較的よく似た傾向を示している.

実験結果からみると、給水によりインバート下の模擬地山の全般的 な強度が低下することにより、側方からの土圧によりインバート下の 地山が破壊したと考えられる. また、模擬地山の強度低下の原因とし て、模擬地山を構成する泥岩の吸水に伴うスレーキング発生が関与し ている可能性があり、スレーキングによる模擬地山の全体的な強度低 下が路盤隆起を生じさせた一因であることが示唆される.

# 6. まとめ

- ① トンネル施工後、インバート下部の地山に水が供給される状況を 想定し、トンネル岩片を模擬地山に使用した模型実験を実施した.
- ② 岩片には古~新第三紀の泥岩で、水平内空変位が大きかった、 しくはインバートに隆起が発生したトンネルのものを使用した.
- ③ 載荷圧をかけた状態での模擬地山への給水により、インバートへ の作用土圧が増加し、隆起が発生した.
- ④ 実験後、岩片の粒径は全般的に小さくなっており、岩片の細粒化 の進行が示された.
- ⑤ インバート隆起は、泥岩のスレーキング発生に 日 荷板変4 起因する模擬地山の全体的な強度低下により, 生じた可能性が考えられる.

#### 7. おわりに

トンネル供用後のインバート変状発生モデルと して、インバート下部地山への給水による地山の 劣化 ⇒ 地山強度低下および地山破壊によるイン バートへの作用土圧の増加 ⇒ インバートの破 壊・隆起が考えられている. 今回の実験は、 発生モデル解明に寄与するものと考えている. 方, 泥岩の細粒化の程度は大気圧下と拘束圧下と

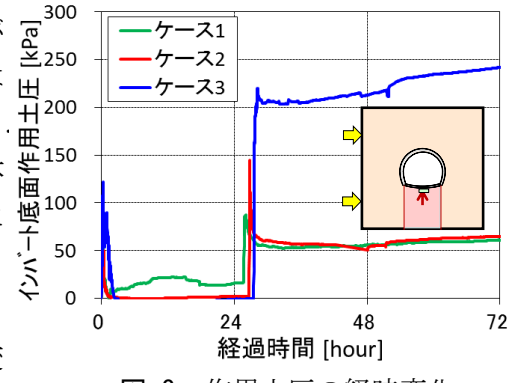


図-3 作用土圧の経時変化

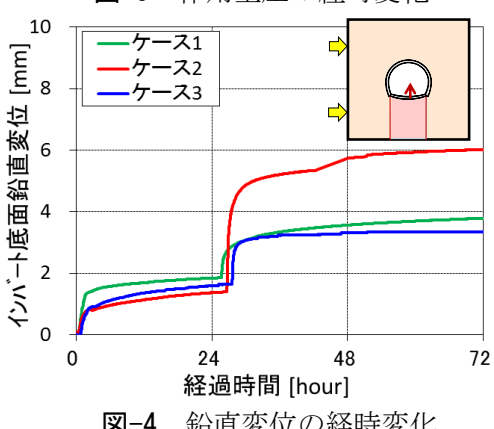
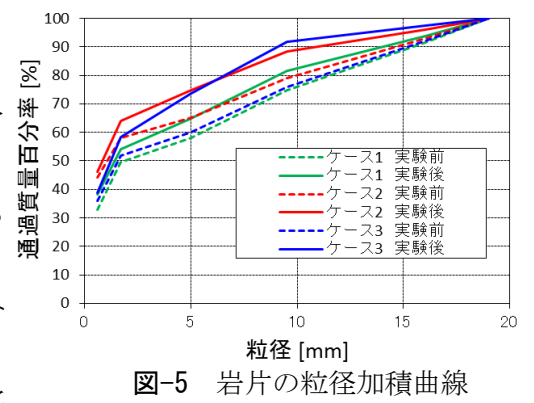
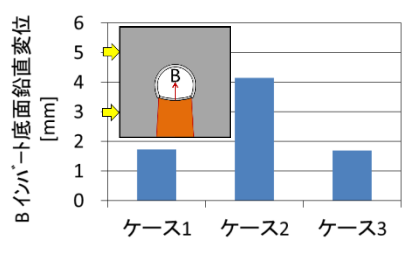


図-4 鉛直変位の経時変化





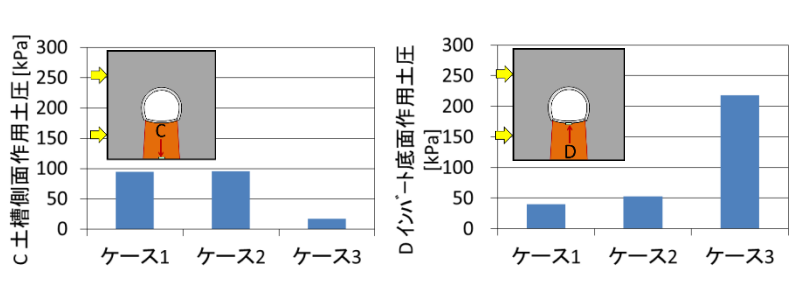


図-6 注水による各計測値の増分

で大きく異なっており, スレーキングの発生機構に外的環境(拘束圧)の影響を示唆するものかもしれない.

2

1

ケース1 ケース2 ケース3

### 参考文献

1) 野城一栄ほか:地質不良区間における山岳トンネル被害メカニズム, 土木学会論文集 C, Vol. 65, No. 4, pp. 107-119, 2009.12